

УДК 519.23 : 528.727

**В. К. Злобин, В. В. Еремеев, В. Г. Новоселов**

(Рязань)

**АЛГОРИТМ ВЫСОКОТОЧНОГО ФОТОМЕТРИЧЕСКОГО  
СОВМЕЩЕНИЯ РАЗНОВРЕМЕННЫХ  
КОСМИЧЕСКИХ ИЗОБРАЖЕНИЙ**

Рассматривается задача высокоточного совмещения изображений поверхности Земли, полученных в различных условиях наблюдения. Для решения этой задачи предложен помехозащищенный алгоритм яркостного выравнивания, основанный на корреляционно-экстремальном анализе гистограмм совмещаемых изображений и итерационной процедуре компенсации содержательных различий. Приводятся результаты экспериментальных исследований алгоритма на реальной спутниковой информации.

**Введение.** При создании космических карт обширных территорий из отдельных перекрывающихся снимков земной поверхности необходимо решить задачу их беспшовного геометрического и фотометрического совмещений. Технология геометрического совмещения рассмотрена в работе [1]. Вторая не менее важная задача состоит в яркостном выравнивании совмещаемых изображений и должна решаться с высокой точностью, поскольку глаз человека замечает относительные яркостные различия вдоль линии соединения снимков порядка 1–2 %. Сложность этой задачи обусловлена тем, что изображения одной и той же территории формируются в разное время и в общем случае различными датчиками и могут значительно отличаться вследствие неодинаковой освещенности, состояния атмосферы и подстилающей поверхности. Действие антропогенных, сезонных, геологических и других факторов приводит к тому, что на одном из снимков могут присутствовать объекты, не содержащиеся на другом.

Охарактеризуем яркости одноименных точек, принадлежащих области перекрытия базового и присоединяемого изображений, соответственно случайными величинами  $Y$  и  $X$ . Задача фотометрического выравнивания сводится к яркостному преобразованию присоединяемого снимка:

$$Y = \varphi(X, \theta), \quad (1)$$

где  $\theta = [\theta_1, \theta_2, \dots, \theta_k]^T$  – вектор параметров функции  $\varphi$ , при которых яркостные различия становятся незаметными.

Параметры вектора  $\theta$  могут быть оценены на основе сопоставления случайных величин  $Y$  и  $X$ . Естественной попыткой является использование для

этого статистического подхода, основанного на нахождении такого вектора  $\theta$ , при котором статистические характеристики (например, гистограммы) случайных величин  $Y$  и  $\varphi(X, \theta)$  становятся идентичными. Однако известные статистические алгоритмы [2] не могут быть непосредственно распространены на рассматриваемый случай, поскольку из-за одновременности съемки перекрывающиеся области могут иметь значительные содержательные различия. Поэтому выравнивание в результате яркостной коррекции статистических характеристик двух изображений не дает гарантии их бесшовного фотометрического совмещения.

**Модель фотометрического совмещения.** В настоящей работе рассматривается алгоритм, малочувствительный к содержательным различиям между совмещаемыми изображениями. Представим случайную величину  $X$  в виде суммы полезного сигнала  $S$  и аддитивной помехи  $\Lambda$ , характеризующей содержательные отличия присоединяемого изображения относительно базового:  $X = S + \Lambda$ . Пусть случайные величины  $X, Y, S, \Lambda$  имеют соответственно плотности распределения вероятности  $f_y(g), f_x(g), f_s(g), f_\lambda(g)$ , где  $g$  – значение яркости. Считая, что содержательные различия равновероятны для любой точки в области перекрытия присоединяемого снимка, плотность распределения вероятности случайной величины  $X$  представим в виде

$$f_x(g) = (1 - \alpha)f_s(g) + \alpha f_\lambda(g), \quad (2)$$

где  $\alpha$  – доля содержательных различий, определяемая отношением площади области перекрытия, занятой содержательными различиями, к площади всей области.

При наличии помеховой компоненты  $\Lambda$  искомой зависимостью  $\varphi$  связаны уже не  $Y$  и  $X$ , а  $Y$  и  $S$ , т. е.  $Y = \varphi(S, \theta)$ . В этом случае, как известно [3], связь между функциями  $f_y(g)$  и  $f_s(g)$  описывается выражением

$$f_y(g) = \frac{d\varphi^{-1}(g, \theta)}{dg} f_s[\varphi^{-1}(g, \theta)]. \quad (3)$$

Найдем из (3) в явном виде выражение для искомой функции  $\varphi$ . Для этого, интегрируя на отрезке  $[0, g]$  правую и левую части равенства (3), получим выражение для функции распределения случайной величины  $Y$ :

$$F_y(g) = \int_0^g f_y(z) dz = \int_0^g f_s[\varphi^{-1}(z, \theta)] \frac{d\varphi^{-1}(z, \theta)}{dz} dz. \quad (4)$$

Вводя обозначение  $t = \varphi^{-1}(z, \theta)$  и учитывая известные свойства плотности распределения вероятности, выражение (4) преобразуем к виду

$$F_y(g) = \int_0^g f_s(t) dt = F_s(g), \quad (5)$$

где  $F_s(g)$  – функция распределения случайной величины  $S$ . Отсюда следует выражение

$$\varphi(g, \theta) = F_y^{-1}[F_s(g)], \quad (6)$$

из которого могут быть оценены компоненты вектора  $\theta$ .

**Схема решения задачи.** Для анализа доступна аддитивная смесь неискаженного сигнала  $S$  и помехи  $\Lambda$ , в то время как для достоверной оценки компонент вектора  $\theta$  по формуле (6) необходимо определить функцию распределения незашумленного сигнала  $S$ . В основу решения этой задачи положены два конструктивных подхода.

Во-первых, фотометрическое соответствие между изображениями, описываемое функцией  $\varphi$ , определяется на основе корреляционного совмещения функций  $f_y(g)$  и  $f_x(g)$ . В отличие от классического применения корреляционной обработки в сигнальном пространстве в данном случае анализ осуществляется в вероятностном пространстве. Поскольку аргументом функций  $f_y(g)$  и  $f_x(g)$  является значение яркости, то, зная функциональную связь между ними, можно установить фотометрическое соответствие между одноименными точками двух изображений. Кроме того, как показали экспериментальные исследования, даже при значительной доле помехи в общем сигнале максимум взаимной корреляционной функции  $f_y(g)$  и  $f_x(g)$  достигается практически при том же значении аргумента, что и при совмещении  $f_y(g)$  и  $f_s(g)$ , т. е. данный подход является устойчивым к наличию помеховой компоненты  $f_\lambda(g)$ . В дальнейшем, вместо плотностей распределения вероятности случайных величин  $X, Y, S, \Lambda$ , будем использовать их оценки – гистограммы.

Выполним преобразование гистограммы  $f_x(g)$ :

$$f_w(g, \omega) = \frac{d\varphi^{-1}(g, \omega)}{dg} f_x[\varphi^{-1}(g, \omega)], \quad (7)$$

т. е. получим новую гистограмму  $f_w(g)$ , соответствующую случайной величине  $W(\omega) = \varphi(X, \omega)$ , где  $\omega = [\omega_1, \omega_2, \dots, \omega_k]^T$  – вектор параметров такой, что  $W = Y$  при  $\omega = \theta$ . Определим искомую оценку вектора параметров функции фотометрического преобразования:

$$\hat{\theta} = \arg \max_{\omega} \rho_{y, w}(\omega), \quad (8)$$

где  $\rho_{y, w}(\omega)$  – коэффициент корреляции между гистограммами  $f_y(g)$  и  $f_w(g)$ .

Во-вторых, используется итерационная процедура «очищения» функции  $f_x(g)$  от помеховой компоненты  $f_\lambda(g)$ . На первой итерации путем корреляционного сопоставления гистограмм  $f_y(g)$  и  $f_x(g)$  производится начальная оценка компонент вектора  $\theta$ , на основе чего определяется начальное приближение функции  $f_\lambda(g)$ . Далее, с использованием формулы (2) выполняется оценка гистограммы полезного сигнала  $f_s(g)$ , на основе которой вектор параметров  $\theta$  уточняется, и так до тех пор, пока  $\alpha$  не достигнет достаточно малой величины.

**Итерационная процедура «очищения» гистограммы.** Пусть в результате корреляционного совмещения гистограмм  $f_y(g)$  и  $f_x(g)$  получена оценка вектора  $\theta = \hat{\theta}$ . Образует разность между известной функцией  $f_y(g)$  и ее оценкой, найденной с использованием  $\hat{\theta}$ :

$$z(g) = f_y(g) - \frac{d\varphi^{-1}(g, \hat{\theta})}{dg} f_x[\varphi^{-1}(g, \hat{\theta})]. \quad (9)$$

Используя выражение (2), преобразуем вычитаемое в формуле (9):

$$z(g) = f_y(g) - \left\{ (1-\alpha) \frac{d\varphi^{-1}(g, \hat{\theta})}{dg} f_s[\varphi^{-1}(g, \hat{\theta})] + \alpha \frac{d\varphi^{-1}(g, \hat{\theta})}{dg} f_\lambda[\varphi^{-1}(g, \hat{\theta})] \right\}. \quad (10)$$

Поскольку  $\frac{d\varphi^{-1}(g, \hat{\theta})}{dg} f_s[\varphi^{-1}(g, \hat{\theta})] \approx f_y(g)$ , то

$$z(g) = \alpha \left\{ f_y(g) - \frac{d\varphi^{-1}(g, \hat{\theta})}{dg} f_\lambda[\varphi^{-1}(g, \hat{\theta})] \right\}. \quad (11)$$

Вводя обозначение  $\gamma(g) = \frac{d\varphi^{-1}(g, \hat{\theta})}{dg} f_\lambda[\varphi^{-1}(g, \hat{\theta})]$ , получим

$$\gamma(g) = f_y(g) - \frac{z(g)}{\alpha}. \quad (12)$$

Найдем оценку  $\alpha = \hat{\alpha}$ . Для этого рассмотрим частное:

$$\frac{z(g)}{f_y(g)} = \alpha - \alpha \frac{f_\lambda(g)}{f_y(g)}. \quad (13)$$

При  $f_\lambda(g) = 0$  (область отсутствия помехи)  $z(g)/f_y(g) = \alpha$ , а при  $f_\lambda(g) \neq 0$   $z(g)/f_y(g) < \alpha$ . Следовательно, для оценки коэффициента  $\alpha$  можно воспользоваться выражением

$$\hat{\alpha} = \max_g \frac{z(g)}{f_y(g)}. \quad (14)$$

Оценим теперь  $f_\lambda(g)$  с учетом  $\hat{\theta}$ ,  $\hat{\alpha}$  и выражения (12):

$$f_\lambda(g) = \gamma[\varphi(g, \hat{\theta})] \Big/ \frac{d\varphi^{-1}(g, \hat{\theta})}{dg}, \quad (15)$$

после чего получим первое приближение гистограммы полезного сигнала:

$$\hat{f}_s(g) = \frac{f_x(g) - \hat{\alpha} f_\lambda(g)}{1 - \hat{\alpha}}. \quad (16)$$

Следующие итерации выполняются аналогичным образом с использованием  $\hat{f}_s(g)$  вместо  $f_x(g)$ , а условием окончания процесса «очистения» гистограммы  $\hat{f}_s(g)$  служит достижение  $\hat{\alpha}$  достаточно малой величины.

**Экспериментальное исследование.** На базе одного и того же изображения формировались две гистограммы: одна (базовая) на основе четных, а другая (корректируемая) на основе нечетных строк. После этого в корректируемую гистограмму добавлялась помеха в виде нормально распределенной

случайной величины с плотностью вероятности  $N(m, \sigma)$ ,  $m = m_s + 2\sigma_s$ ,  $\sigma = 0,5\sigma_s$ , где  $m_s, \sigma_s$  – соответственно среднее значение и среднеквадратичное отклонение (СКО) случайной величины  $S$ . В результате формировалась серия гистограмм корректируемых изображений:

$$f_x(g) = (1 - \alpha)f_s(g) + \alpha N(m, \sigma), \quad 0 \leq \alpha \leq 0,5. \quad (17)$$

Ставилась задача оценки при различных значениях  $\alpha$  коэффициентов  $a_0, a_1$  линейной функции фотометрического выравнивания  $\varphi(g) = a_0 + a_1g$  при априорно известных значениях коэффициентов  $a_0 = 0, a_1 = 1$ . В качестве меры точности фотометрического выравнивания использовалось СКО разности оцениваемых коэффициентов и их ожидаемых значений:

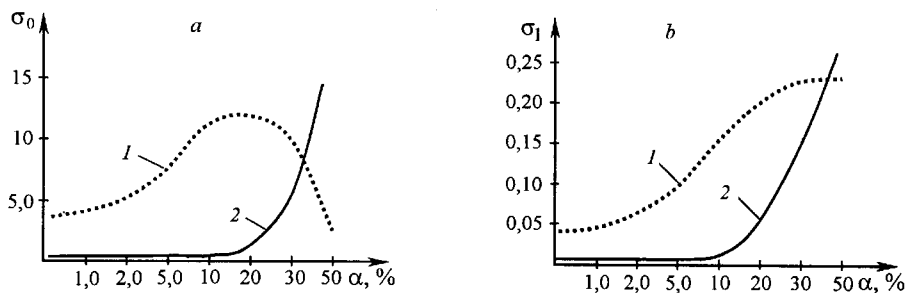
$$\sigma_0 = \sqrt{\frac{1}{I} \sum_{i=1}^I (\hat{a}_{0i})^2}, \quad \sigma_1 = \sqrt{\frac{1}{I} \sum_{i=1}^I (\hat{a}_{1i} - 1)^2}, \quad (18)$$

где  $\hat{a}_{0i}, \hat{a}_{1i}$  –  $i$ -я оценка коэффициентов;  $I$  – количество опытов, проведенных для одного фиксированного значения  $\alpha$ . Полученные результаты сопоставлялись с известной процедурой оценки  $a_0, a_1$  на основе средних и СКО [4]:

$$\hat{a}_1 = \sqrt{\sigma_y / \sigma_x}, \quad \hat{a}_0 = m_y - m_x \sqrt{\sigma_y / \sigma_x}, \quad (19)$$

где  $m_x, \sigma_x, m_y, \sigma_y$  – соответственно средние значения и СКО случайных величин  $X$  и  $Y$ .

На рис. 1,  $a, b$  приведены результаты, полученные при использовании видеоданных от 3-го спектрального канала датчика МСУ-Э космической системы «Ресурс-О1» [5]. В результате экспериментальных исследований установлено, что рассмотренный корреляционный алгоритм обеспечивает устойчивое решение задачи при уровне помехи 16–18 %. Напротив, алгоритм моментов [4], основанный на формуле (19), характеризуется недопустимой погрешностью оценки  $a_0, a_1$  уже при 2 %-м уровне содержательных различий. Предложенный алгоритм реализован в виде модуля в системе обработки данных дистанционного зондирования Земли NormSat [1] и апробирован при создании космокарт Рязанской и Тульской областей по материалам съемки системы «Ресурс-О1».



Зависимость погрешностей оценок  $a_0$  ( $a$ ) и  $a_1$  ( $b$ ) от доли помех: 1 – базовый алгоритм, 2 – корреляционный алгоритм

## СПИСОК ЛИТЕРАТУРЫ

1. Злобин В. К., Еремеев В. В., Кузнецов А. Е. Геоинформационная система космического картографирования // 2-я Междунар. науч.-техн. конф. «Космонавтика. Радиоэлектроника. Геоинформатика»: Тез. докл. Рязань: Рязан. гос. радиотехн. акад., 1998.
2. Злобин В. К., Еремеев В. В. Нормализация видеоданных в системах дистанционного зондирования Земли // Электросвязь. 1992. № 4. С. 12.
3. Пугачев В. С. Теория вероятностей и математическая статистика. М.: Наука, 1979.
4. Еремеев В. В., Злобин В. К. Статистические алгоритмы радиометрической коррекции видеоинформации от многоэлементных сканирующих систем // Автометрия. 1995. № 3. С. 78.
5. Селиванов А. С., Тучин Ю. М. Оперативная система наблюдения Земли «Ресурс-О1» // Исслед. Земли из космоса. 1988. № 3. С. 101.

*Рязанская государственная  
радиотехническая академия,  
E-mail: rector@rgrta.ryazan.su*

*Поступила в редакцию  
29 сентября 1999 г.*

---

**Реклама продукции в нашем журнале – залог Вашего успеха!**